



Низкие динамические потери
 Малый заряд обратного восстановления
 Разветвленный управляющий электрод для
 высоких скоростей нарастания тока

Быстродействующий Импульсный Тиристор Тип ТБИ373-1600-28

Средний прямой ток	I_{TAV}		1600 А		
Повторяющееся импульсное напряжение в закрытом состоянии	U_{DRM}		2000...2800 В		
Повторяющееся импульсное обратное напряжение	U_{RRM}				
Время выключения	t_q		50.0, 63.0 мкс		
$U_{DRM}, U_{RRM}, В$	2000	2200	2400	2600	2800
Класс по напряжению	20	22	24	26	28
$T_j, ^\circ C$	-60...+125				

ПРЕДЕЛЬНО ДОПУСТИМЫЕ ЗНАЧЕНИЯ ПАРАМЕТРОВ

Обозначение и наименование параметра		Ед. изм.	Значение	Условия измерения	
Параметры в проводящем состоянии					
I_{TAV}	Средний ток в открытом состоянии	А	1600 1833 2715	$T_c=91^\circ C$; двухстороннее охлаждение; $T_c=85^\circ C$; двухстороннее охлаждение; $T_c=55^\circ C$; двухстороннее охлаждение; 180 эл. град. синус; 50 Гц	
I_{TRMS}	Действующий ток в открытом состоянии	А	2512	$T_c=91^\circ C$; двухстороннее охлаждение; 180 эл. град. синус; 50 Гц	
I_{TSM}	Ударный ток в открытом состоянии	кА	40.0 46.0	$T_j=T_{jmax}$ $T_j=25^\circ C$	180 эл. град. синус; $t_p=10$ мс; единичный импульс; $U_D=U_R=0$ В; Импульс управления: $I_G=I_{FGM}$; $U_G=20$ В; $t_{GP}=50$ мкс; $di_G/dt=1$ А/мкс
			42.0 48.0	$T_j=T_{jmax}$ $T_j=25^\circ C$	180 эл. град. синус; $t_p=8.3$ мс; единичный импульс; $U_D=U_R=0$ В; Импульс управления: $I_G=I_{FGM}$; $U_G=20$ В; $t_{GP}=50$ мкс; $di_G/dt=1$ А/мкс
I^2t	Защитный фактор	A^2c10^3	8000 10500	$T_j=T_{jmax}$ $T_j=25^\circ C$	180 эл. град. синус; $t_p=10$ мс; единичный импульс; $U_D=U_R=0$ В; Импульс управления: $I_G=I_{FGM}$; $U_G=20$ В; $t_{GP}=50$ мкс; $di_G/dt=1$ А/мкс
			7300 9500	$T_j=T_{jmax}$ $T_j=25^\circ C$	180 эл. град. синус; $t_p=8.3$ мс; единичный импульс; $U_D=U_R=0$ В; Импульс управления: $I_G=I_{FGM}$; $U_G=20$ В; $t_{GP}=50$ мкс; $di_G/dt=1$ А/мкс

Блокирующие параметры				
U_{DRM}, U_{RRM}	Повторяющееся импульсное обратное напряжение и повторяющееся импульсное напряжение в закрытом состоянии	В	2000...2800	$T_{j\ min} < T_j < T_{j\ max}$; 180 эл. град. синус; 50 Гц; управление разомкнуто
U_{DSM}, U_{RSM}	Неповторяющееся импульсное обратное напряжение и неповторяющееся импульсное напряжение в закрытом состоянии	В	2100...2900	$T_{j\ min} < T_j < T_{j\ max}$; 180 эл. град. синус; единичный импульс; управление разомкнуто
U_D, U_R	Постоянное обратное и постоянное прямое напряжение	В	$0.6 \cdot U_{DRM}$ $0.6 \cdot U_{RRM}$	$T_j = T_{j\ max}$; управление разомкнуто
Параметры управления				
I_{FGM}	Максимальный прямой ток управления	А	10	$T_j = T_{j\ max}$
U_{RGM}	Максимальное обратное напряжение управления	В	5	
P_G	Максимальная рассеиваемая мощность по управлению	Вт	8	$T_j = T_{j\ max}$ для постоянного тока управления
Параметры переключения				
$(di_T/dt)_{crit}$	Критическая скорость нарастания тока в открытом состоянии ($f=1$ Hz)	А/мкс	2500	$T_j = T_{j\ max}$; $U_D = 0.67 \cdot U_{DRM}$; $I_{TM} = 5800$ А; Импульс управления: $I_G = 2$ А; $U_G = 20$ В; $t_{GP} = 50$ мкс; $di_G/dt = 2$ А/мкс
Тепловые параметры				
T_{stg}	Температура хранения	°С	-60...+50	
T_j	Температура р-п перехода	°С	-60...+125	
Механические параметры				
F	Монтажное усилие	кН	40.0...50.0	
a	Ускорение	м/с ²	50	В зажатом состоянии

ХАРАКТЕРИСТИКИ

Обозначение и наименование характеристики	Ед. изм.	Значение	Условия измерения	
Характеристики в проводящем состоянии				
U_{TM}	Импульсное напряжение в открытом состоянии, макс	В	2.26	$T_j = 25$ °С; $I_{TM} = 5024$ А
$U_{T(TO)}$	Пороговое напряжение, макс	В	1.360	$T_j = T_{j\ max}$; $0.5 \pi I_{TAV} < I_T < 1.5 \pi I_{TAV}$
r_T	Динамическое сопротивление в открытом состоянии, макс	МОм	0.183	
I_H	Ток удержания, макс	мА	1000	$T_j = 25$ °С; $U_D = 12$ В; управление разомкнуто
Блокирующие характеристики				
I_{DRM}, I_{RRM}	Повторяющийся импульсный обратный ток и повторяющийся импульсный ток в закрытом состоянии, макс	мА	300	$T_j = T_{j\ max}$; $U_D = U_{DRM}$; $U_R = U_{RRM}$
$(du_D/dt)_{crit}$	Критическая скорость нарастания напряжения в закрытом состоянии ¹⁾ , мин	В/мкс	200, 320, 500, 1000, 1600, 2000, 2500	$T_j = T_{j\ max}$; $U_D = 0.67 \cdot U_{DRM}$; управление разомкнуто

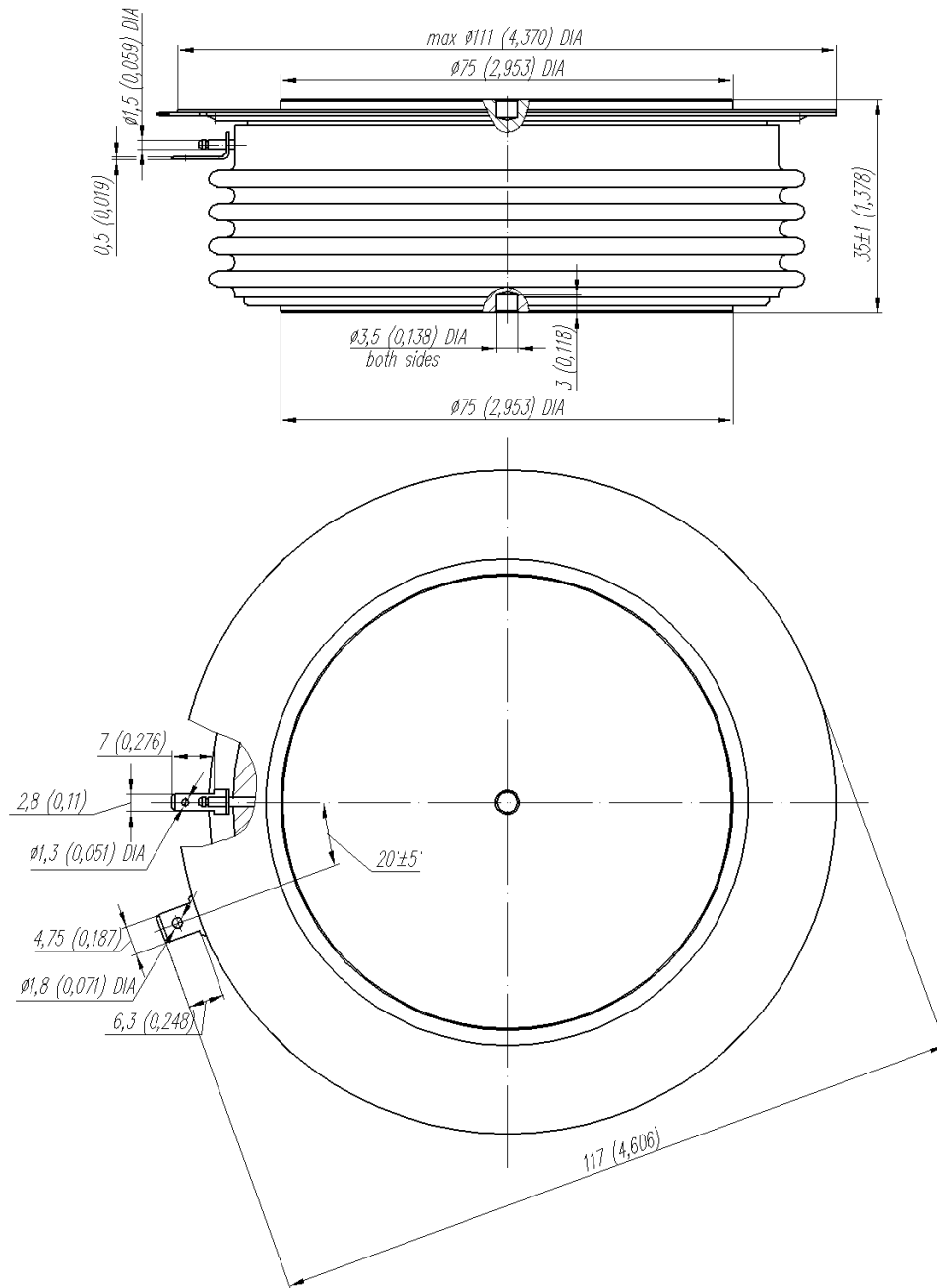
Характеристики управления					
U_{GT}	Отпирающее постоянное напряжение управления, макс	В	3.00 3.00 1.50	$T_j = T_{j \min}$ $T_j = 25 \text{ }^\circ\text{C}$ $T_j = T_{j \max}$	$U_D = 12 \text{ В}; I_D = 3 \text{ А};$ Постоянный ток управления
I_{GT}	Отпирающий постоянный ток управления, макс	мА	500 300 150	$T_j = T_{j \min}$ $T_j = 25 \text{ }^\circ\text{C}$ $T_j = T_{j \max}$	
U_{GD}	Неотпирающее постоянное напряжение управления, мин	В	0.35	$T_j = T_{j \max};$ $U_D = 0.67 \cdot U_{DRM};$	
I_{GD}	Неотпирающий постоянный ток управления, мин	мА	70.00	Постоянный ток управления	

Динамические характеристики					
t_{gd}	Время задержки включения, макс	мкс	1.05	$T_j = 25 \text{ }^\circ\text{C}; U_D = 1500 \text{ В}; I_{TM} = I_{TAV};$ $di/dt = 200 \text{ А/мкс};$	
t_{gt}	Время включения ²⁾ , макс	мкс	2.50, 3.20, 4.00, 6.30	Импульс управления: $I_G = 2 \text{ А}; U_G = 20 \text{ В};$ $t_{GP} = 50 \text{ мкс}; di_G/dt = 2 \text{ А/мкс}$	
t_q	Время выключения ³⁾ , макс	мкс	50.0, 63.0	$du_D/dt = 50 \text{ В/мкс};$	$T_j = T_{j \max}; I_{TM} = I_{TAV};$ $di_R/dt = -10 \text{ А/мкс};$ $U_R = 100 \text{ В};$ $U_D = 0.67 U_{DRM}$
			63.0, 80.0	$du_D/dt = 200 \text{ В/мкс};$	
Q_{rr}	Заряд обратного восстановления, макс	мкКл	1250	$T_j = T_{j \max}; I_{TM} = 2000 \text{ А};$ $di_R/dt = -50 \text{ А/мкс};$ $U_R = 100 \text{ В}$	
t_{rr}	Время обратного восстановления, макс	мкс	9.0		
I_{rrM}	Ток обратного восстановления, макс	А	280		

Тепловые характеристики					
R_{thjc}	Тепловое сопротивление р-п переход-корпус, макс	$^\circ\text{C/Вт}$	0.0100	Постоянный ток	Двухстороннее охлаждение
R_{thjc-A}			0.0220		Охлаждение со стороны анода
R_{thjc-K}			0.0180		Охлаждение со стороны катода
R_{thck}	Тепловое сопротивление корпус-охладитель, макс	$^\circ\text{C/Вт}$	0.0020	Постоянный ток	

Механические характеристики					
w	Масса, макс	г	1600		
D_s	Длина пути тока утечки по поверхности	мм (дюйм)	55.13 (2.170)		
D_a	Длина пути тока утечки по воздуху	мм (дюйм)	25.10 (0.988)		

МАРКИРОВКА								ПРИМЕЧАНИЕ																							
ТБИ	373	1600	28	A2	C3	C4	УХЛ2	1) Критическая скорость нарастания напряжения в закрытом состоянии																							
1	2	3	4	5	6	7	8	<table border="1"> <thead> <tr> <th>Обозначение группы</th> <th>P2</th> <th>K2</th> <th>E2</th> <th>A2</th> <th>T1</th> <th>P1</th> <th>M1</th> </tr> </thead> <tbody> <tr> <td>$(du_D/dt)_{crit}, \text{ В/мкс}$</td> <td>200</td> <td>320</td> <td>500</td> <td>1000</td> <td>1600</td> <td>2000</td> <td>2500</td> </tr> </tbody> </table>								Обозначение группы	P2	K2	E2	A2	T1	P1	M1	$(du_D/dt)_{crit}, \text{ В/мкс}$	200	320	500	1000	1600	2000	2500
Обозначение группы	P2	K2	E2	A2	T1	P1	M1																								
$(du_D/dt)_{crit}, \text{ В/мкс}$	200	320	500	1000	1600	2000	2500																								
1. Быстродействующий импульсный тиристор 2. Конструктивное исполнение 3. Средний ток в открытом состоянии, А 4. Класс по напряжению 5. Критическая скорость нарастания напряжения в закрытом состоянии 6. Группа по времени выключения ($du_D/dt = 50 \text{ В/мкс}$) 7. Группа по времени включения 8. Климатическое исполнение по ГОСТ 15150: УХЛ2, Т2								2) Время включения																							
								<table border="1"> <thead> <tr> <th>Обозначение группы</th> <th>M4</th> <th>K4</th> <th>H4</th> <th>C4</th> </tr> </thead> <tbody> <tr> <td>$t_{gt}, \text{ мкс}$</td> <td>2.50</td> <td>3.20</td> <td>4.00</td> <td>6.30</td> </tr> </tbody> </table>								Обозначение группы	M4	K4	H4	C4	$t_{gt}, \text{ мкс}$	2.50	3.20	4.00	6.30						
Обозначение группы	M4	K4	H4	C4																											
$t_{gt}, \text{ мкс}$	2.50	3.20	4.00	6.30																											
								3) Время выключения ($du_D/dt = 50 \text{ В/мкс}$)																							
								<table border="1"> <thead> <tr> <th>Обозначение группы</th> <th>E3</th> <th>C3</th> </tr> </thead> <tbody> <tr> <td>$t_q, \text{ мкс}$</td> <td>50.0</td> <td>63.0</td> </tr> </tbody> </table>								Обозначение группы	E3	C3	$t_q, \text{ мкс}$	50.0	63.0										
Обозначение группы	E3	C3																													
$t_q, \text{ мкс}$	50.0	63.0																													



Все размеры в миллиметрах (дюймах)

Содержащаяся здесь информация является конфиденциальной и находится под защитой авторских прав. В интересах улучшения качества продукции, АО «Протон-Электротекс» оставляет за собой право изменять информационные листы без уведомления.

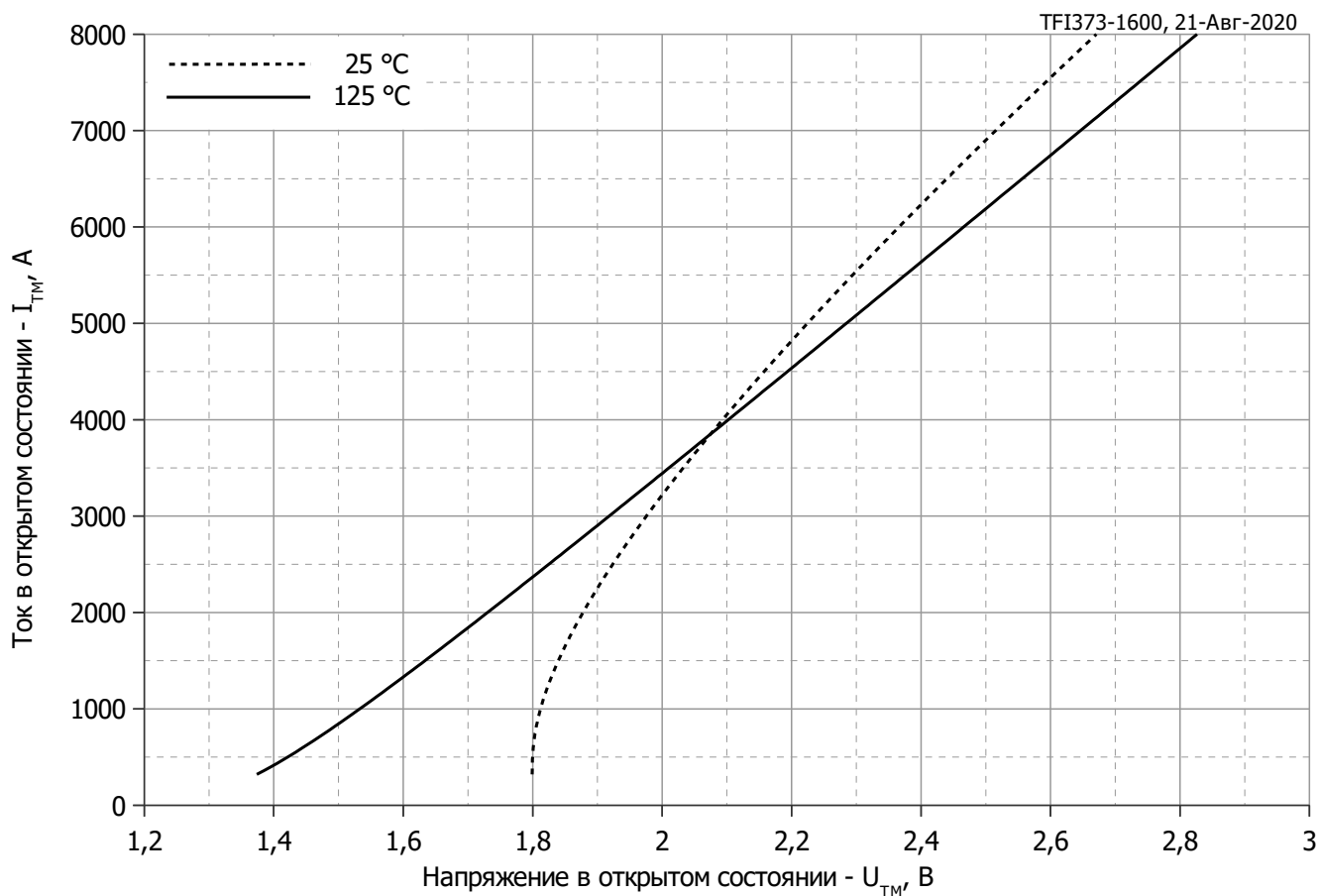


Рис. 1 – Вольт - амперная характеристика в открытом состоянии

Аналитическая функция вольт — амперной характеристики в открытом состоянии:

$$V_T = A + B \cdot i_T + C \cdot \ln(i_T + 1) + D \cdot \sqrt{i_T}$$

	Коэффициенты для графика	
	$T_j = 25^\circ\text{C}$	$T_j = T_{j \max}$
A	1.52483235	1.07652723
B	0.00025571	0.00018018
C	0.09370403	0.04475356
D	-0.01947386	-0.00104796

Вольт-амперная характеристика в открытом состоянии (см. Рис. 1).

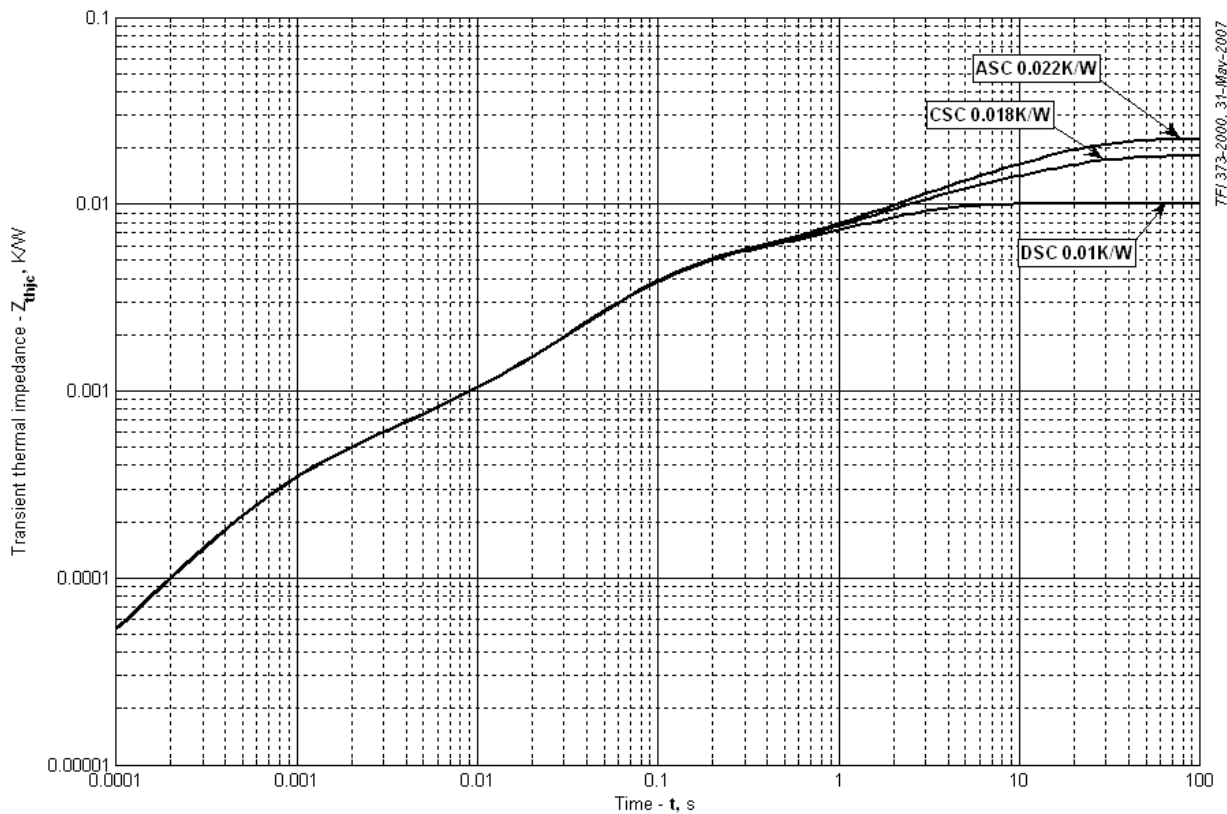


Рис. 2 – Переходное тепловое сопротивление

Аналитическая зависимость переходного теплового сопротивления переход — корпус:

$$Z_{thjc} = \sum_{i=1}^n R_i \left(1 - e^{-\frac{t}{\tau_i}} \right)$$

Где $i = 1$ to n , n – число суммирующихся элементов.

t = продолжительность импульсного нагрева в секундах.

Z_{thjc} = Тепловое сопротивление за время t .

R_i, τ_i = расчетные коэффициенты, приведенные в таблице.

Постоянный ток, двустороннее охлаждение

i	1	2	3	4	5	6
$R_i, K/W$	0.002047	0.003474	0.0002566	0.0009157	0.0002537	0.003053
τ_i, s	2.208	0.07263	0.002379	0.1468	0.0006251	1.336

Постоянный ток, охлаждение со стороны анода

i	1	2	3	4	5	6
$R_i, K/W$	0.01236	0.004677	0.0005872	0.004097	0.0002182	0.000307
τ_i, s	13.330	2.000	0.4303	0.07916	0.003128	0.0007049

Постоянный ток, охлаждение со стороны катода

i	1	2	3	4	5	6
$R_i, K/W$	0.008162	0.004629	0.000628	0.004107	0.0002172	0.0003086
τ_i, s	13.290	1.911	0.4529	0.0791	0.003157	0.0007072

Модель переходного теплового сопротивления переход - корпус (см. Рис. 2)

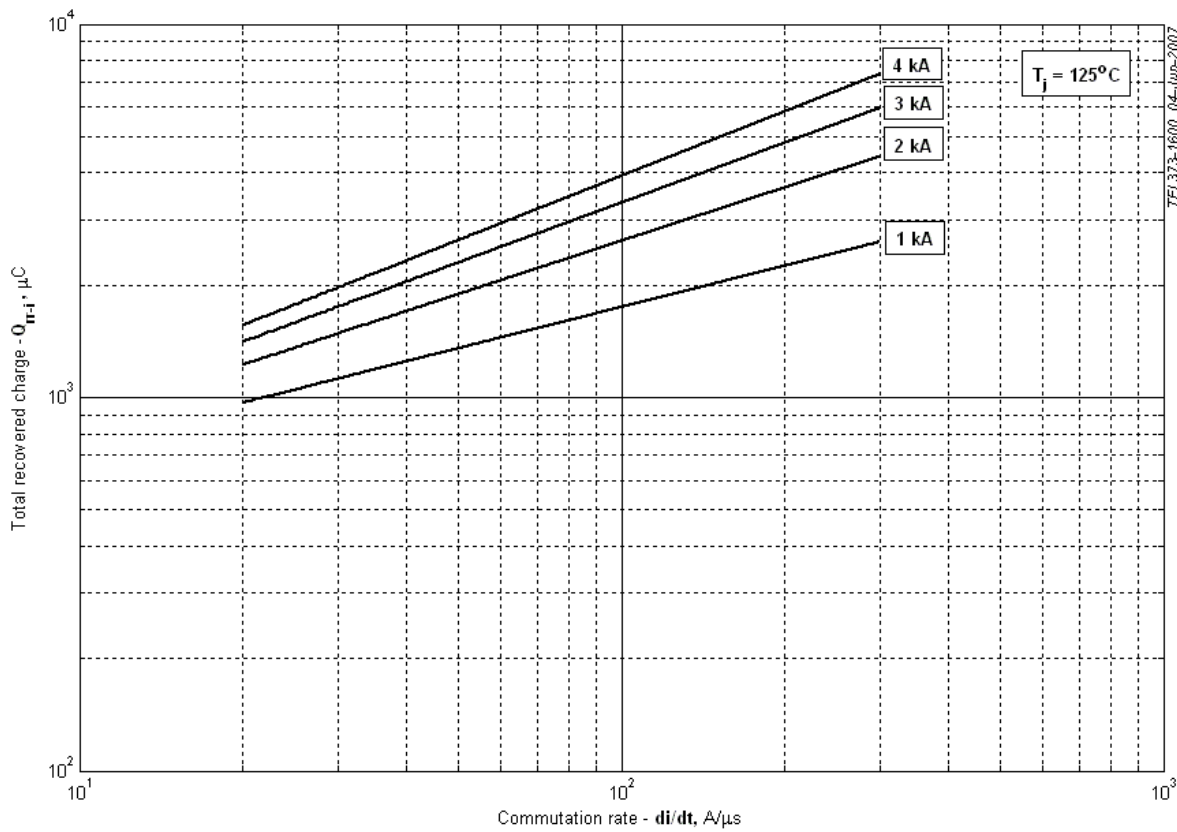


Рис. 3 – Максимальный интегральный заряд обратного восстановления, Q_{rr-i}

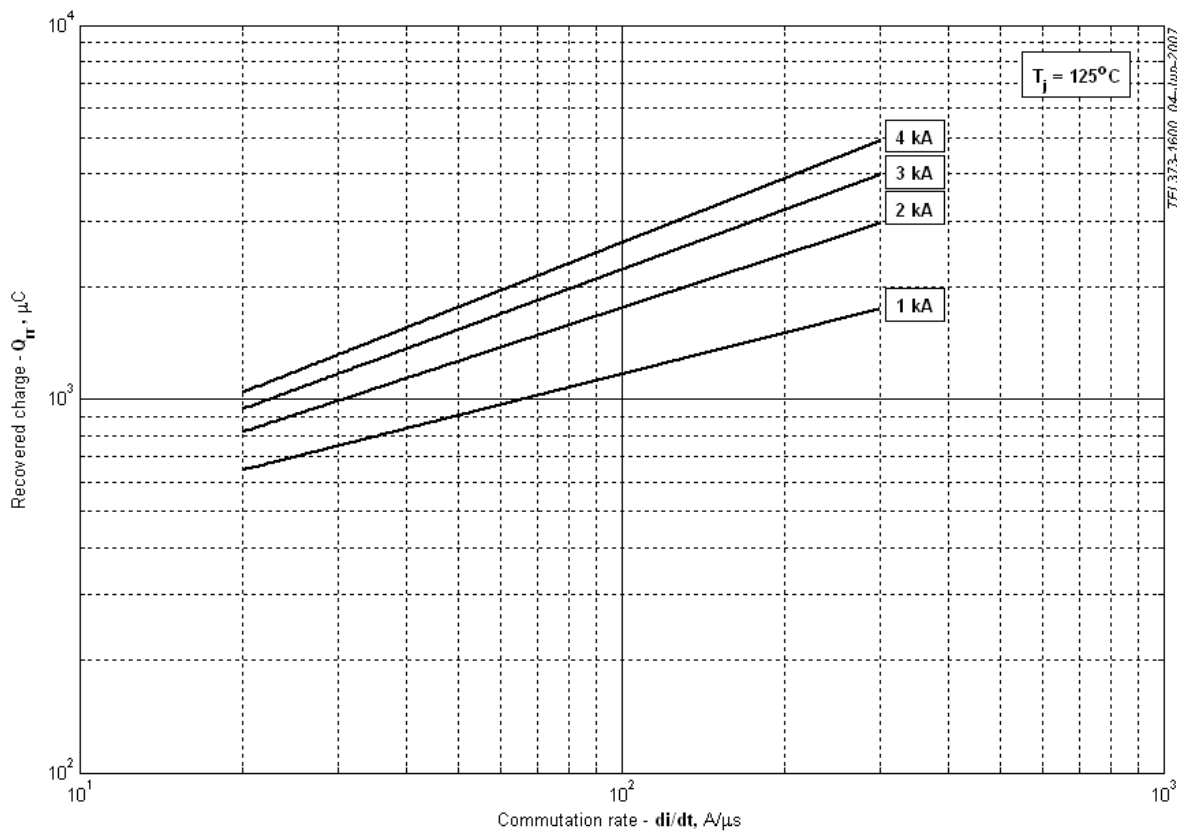


Рис. 4 – Максимальный заряд обратного восстановления, Q_{rr} (по ГОСТ 24461, хорда 25%)

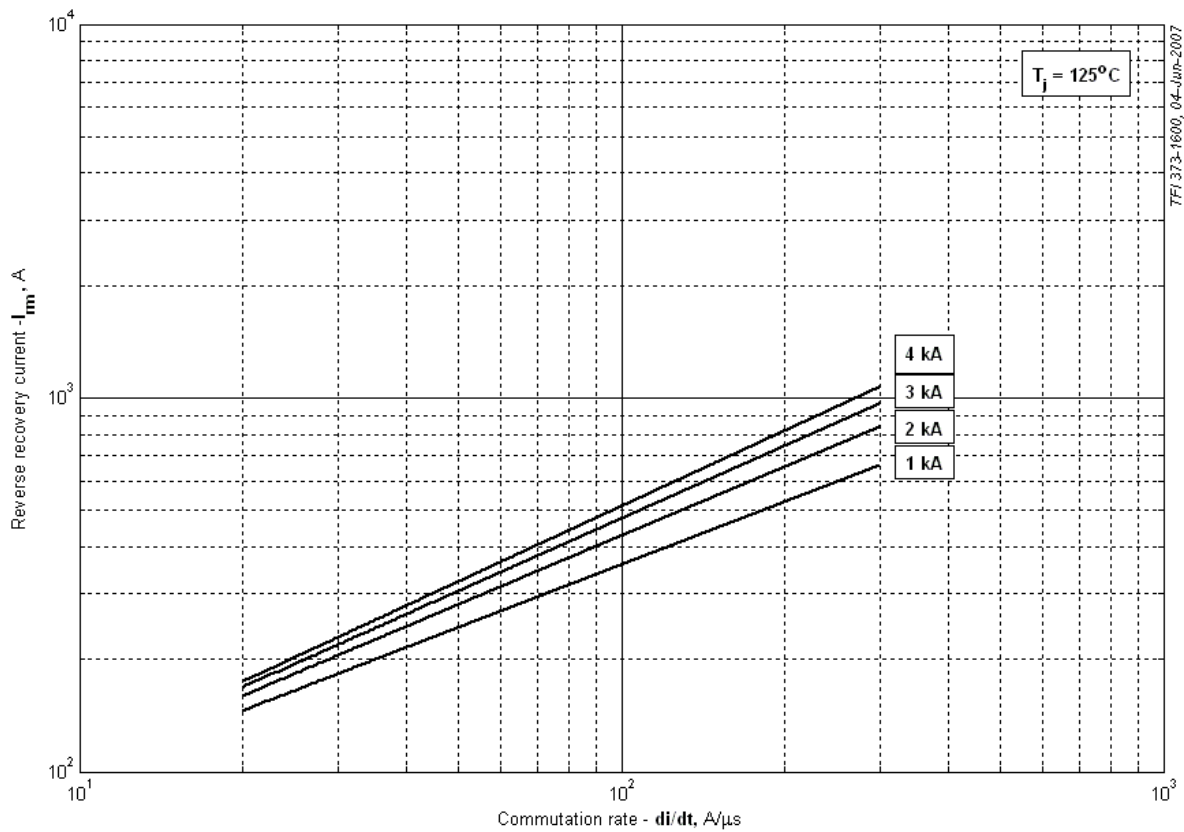


Рис. 5 – Максимальный ток обратного восстановления, $I_{r_{rm}}$

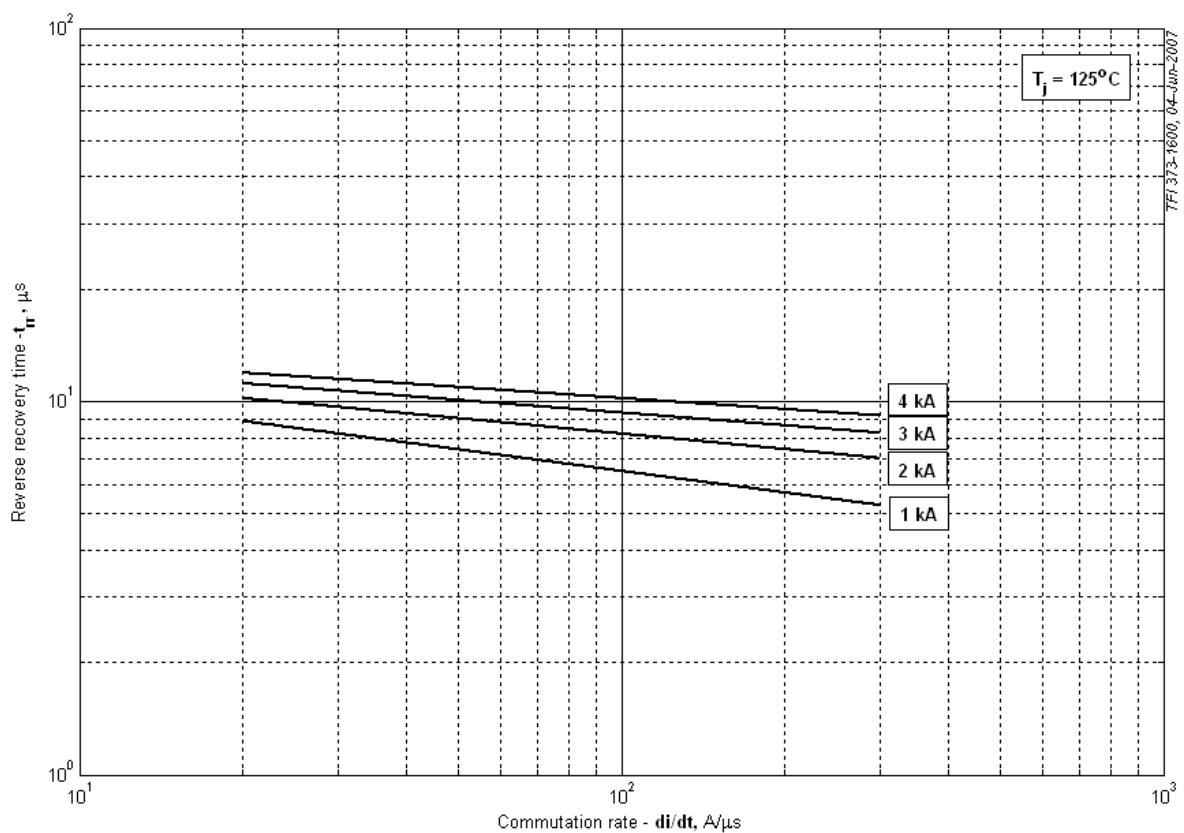


Рис. 6 – Максимальное время обратного восстановления, t_{tr} (по ГОСТ 24461, хорда 25%)

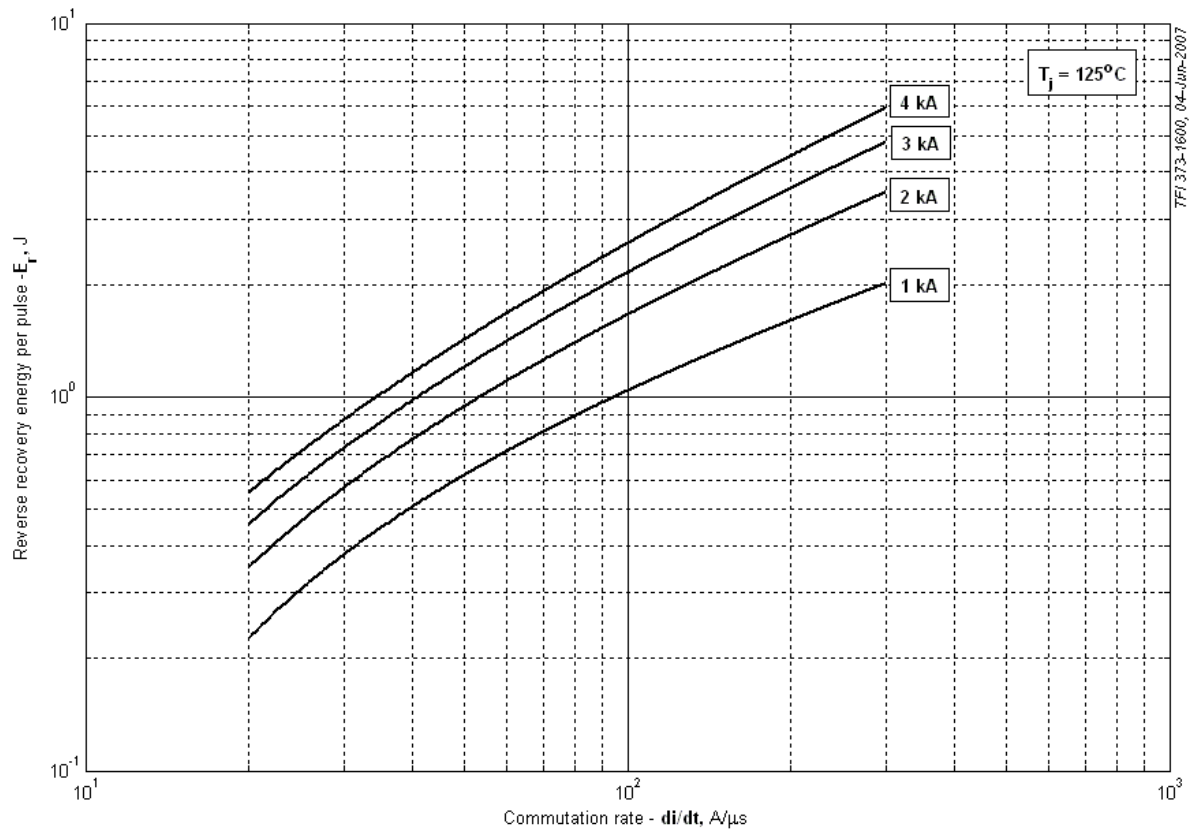


Рис. 7 – Энергия обратного восстановления за импульс

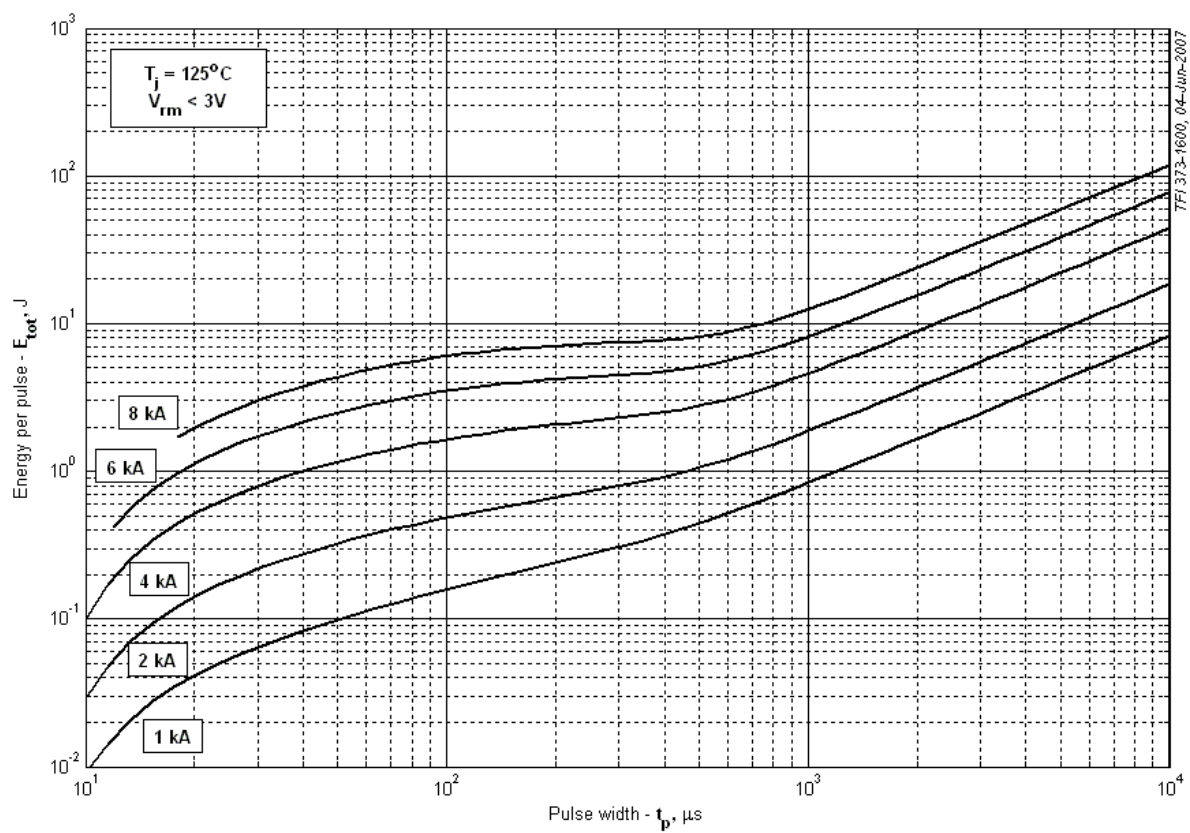


Рис. 8 – Суммарная энергия потерь одного синусоидального импульса тока

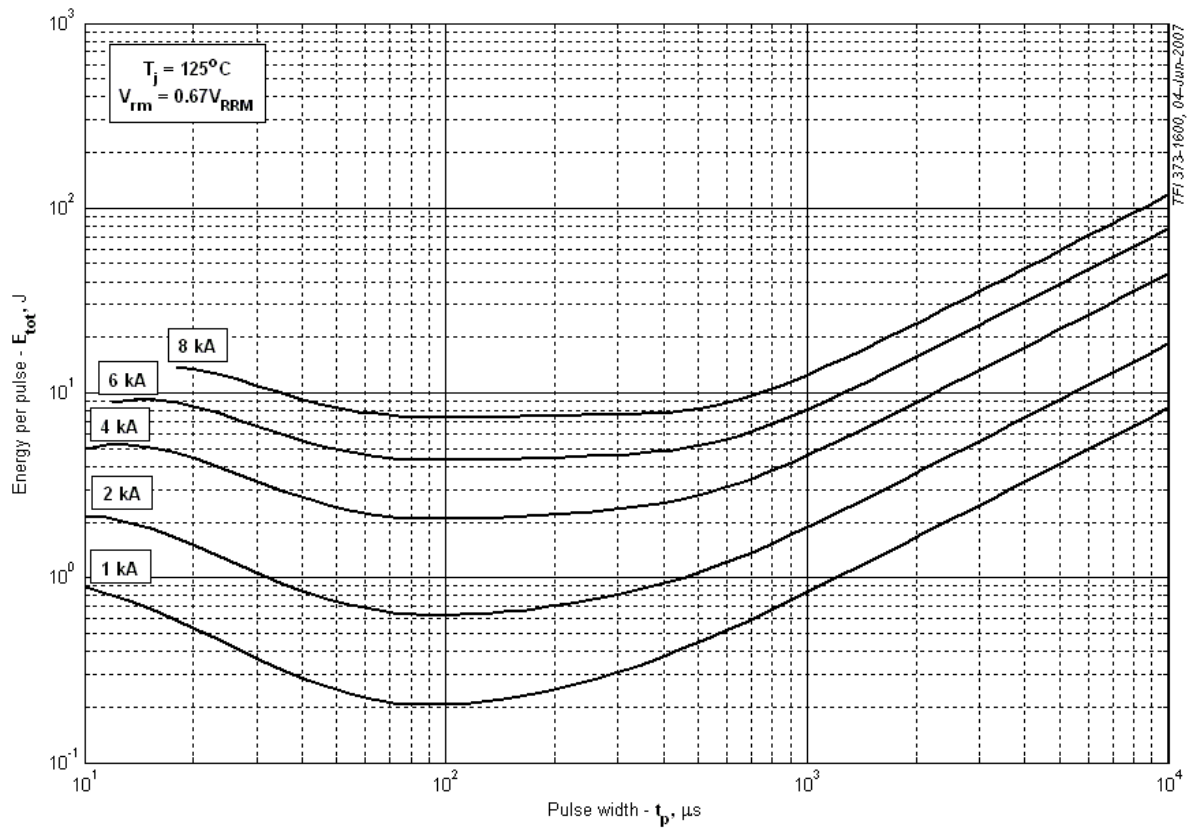


Рис. 9 – Суммарная энергия потерь одного синусоидального импульса тока

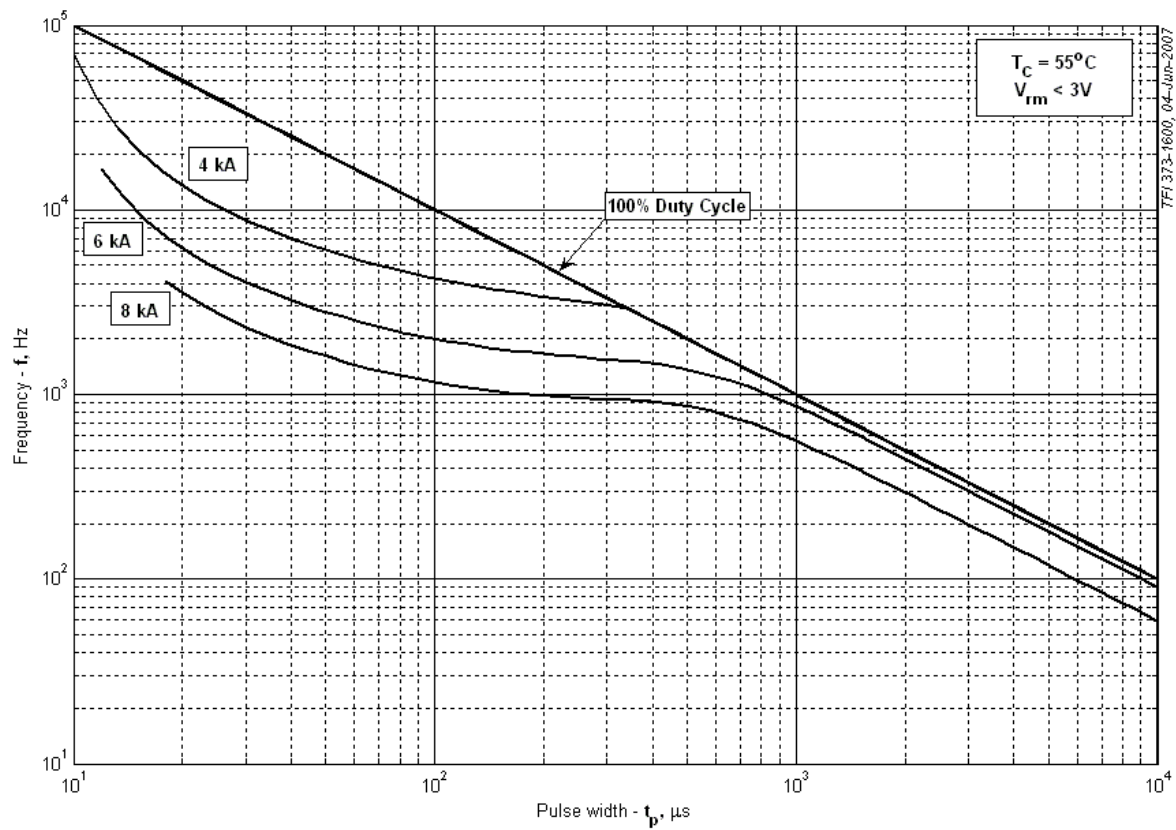


Рис. 10 – Зависимость частоты синусоидальных импульсов тока от длительности импульсов

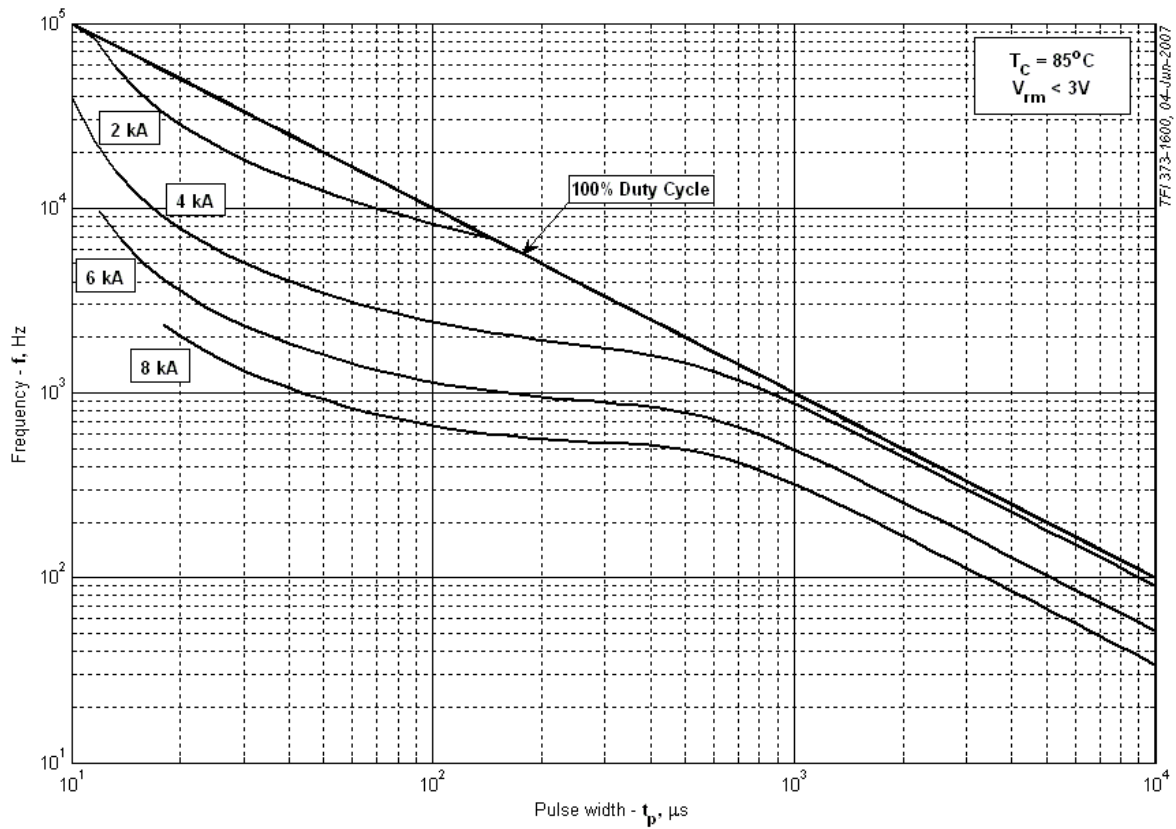


Рис. 11 – Зависимость частоты синусоидальных импульсов тока от длительности импульсов

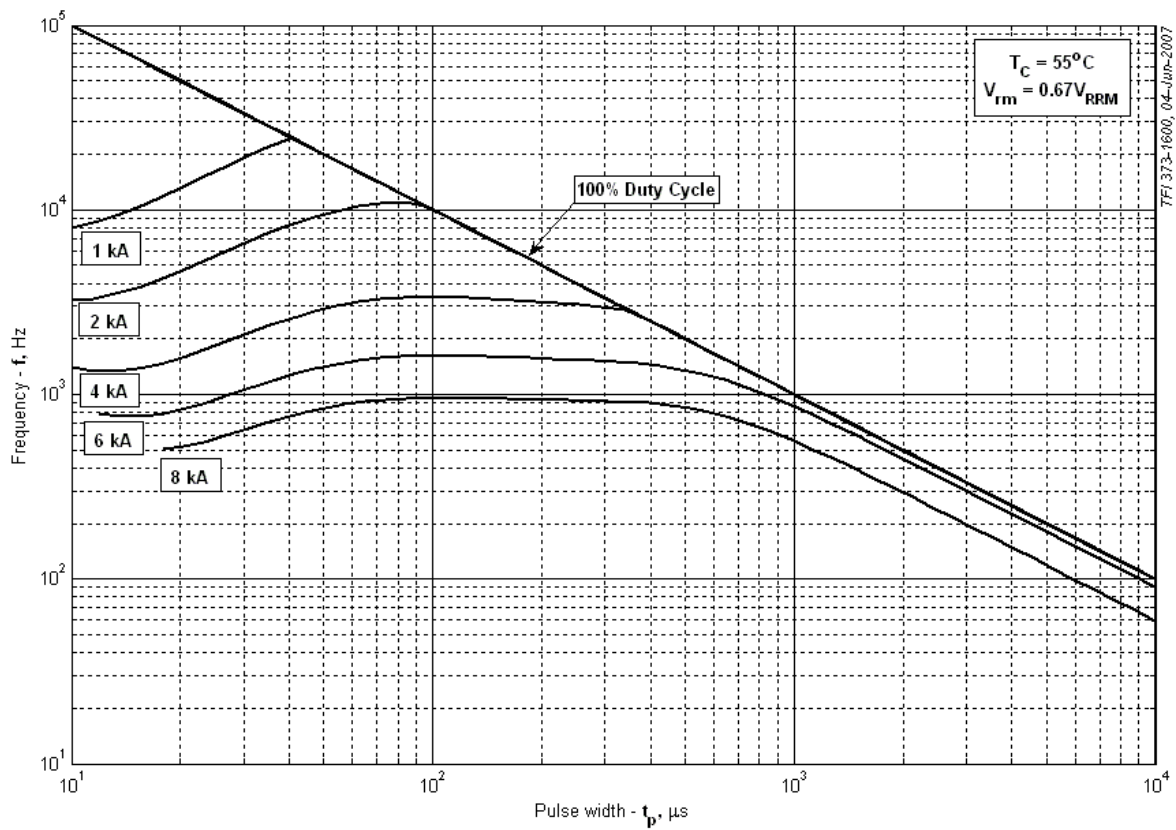


Рис. 12 – Зависимость частоты синусоидальных импульсов тока от длительности импульсов

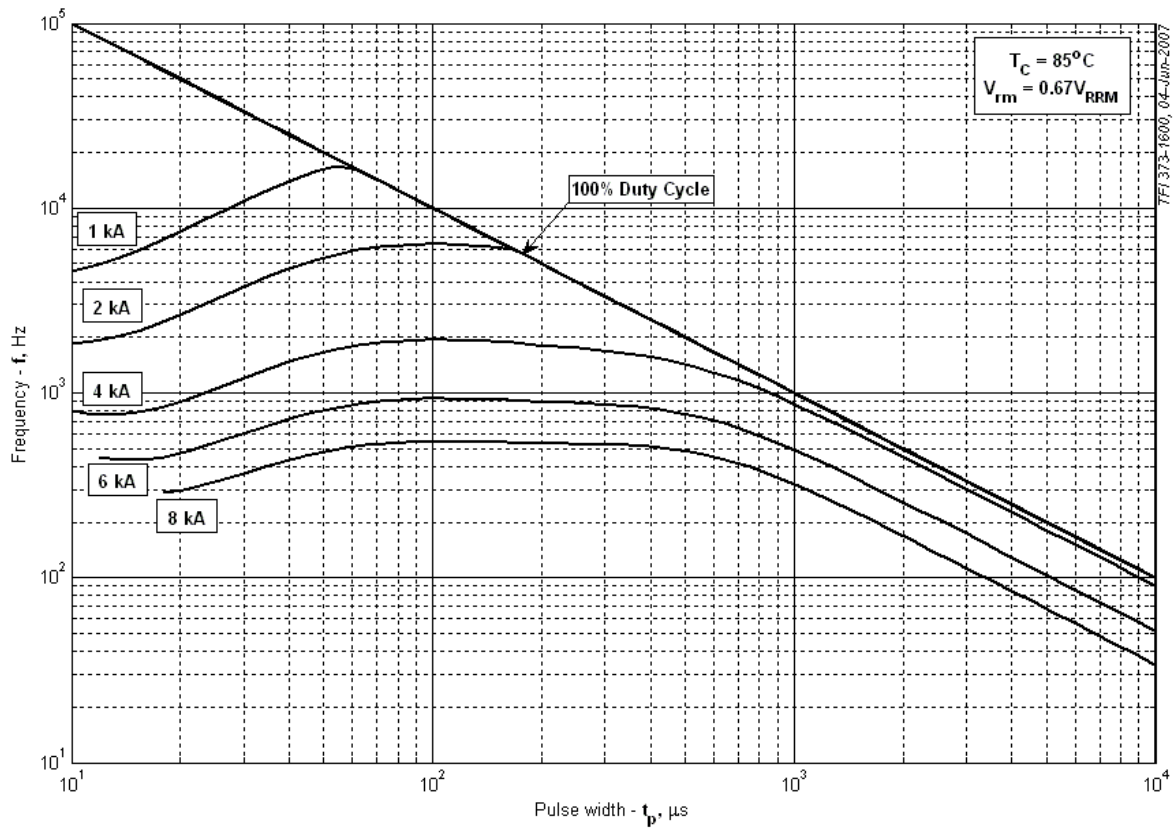


Рис. 13 – Зависимость частоты синусоидальных импульсов тока от длительности импульсов

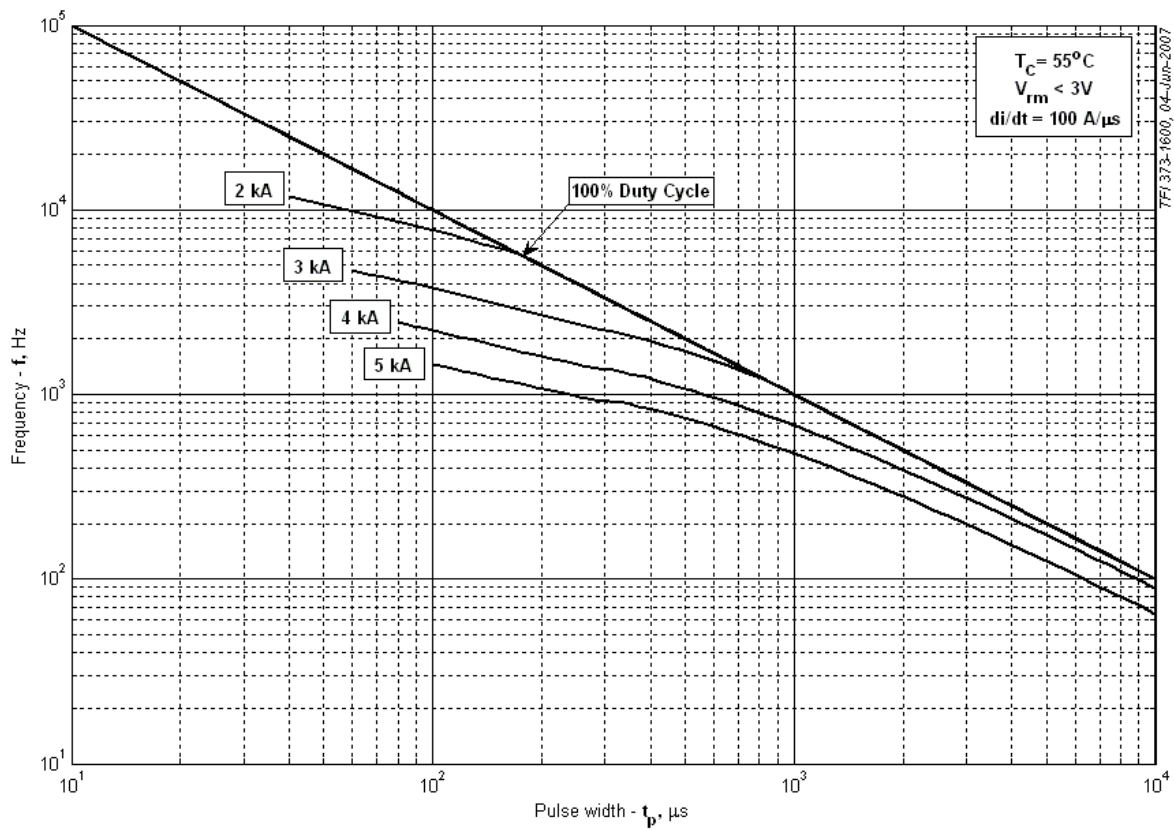


Рис. 14 – Зависимость частоты прямоугольных импульсов тока от длительности импульсов

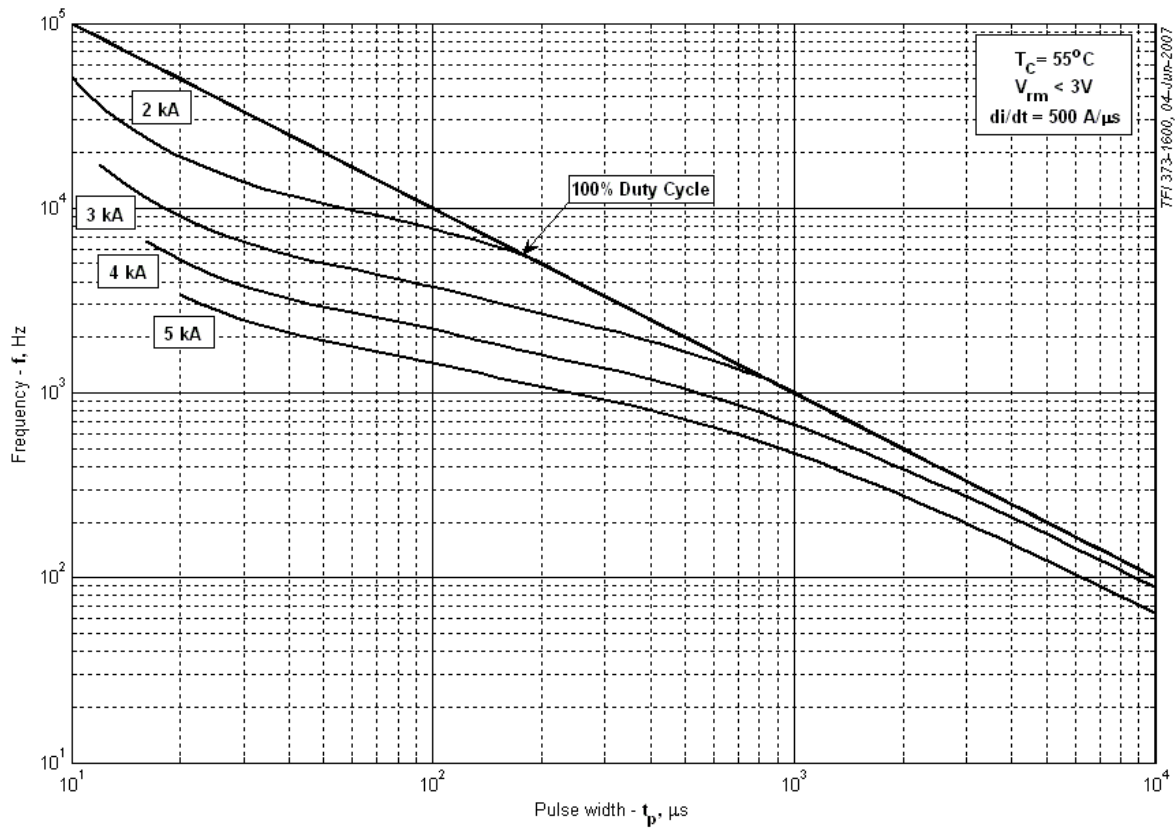


Рис. 15— Зависимость частоты прямоугольных импульсов тока от длительности импульсов

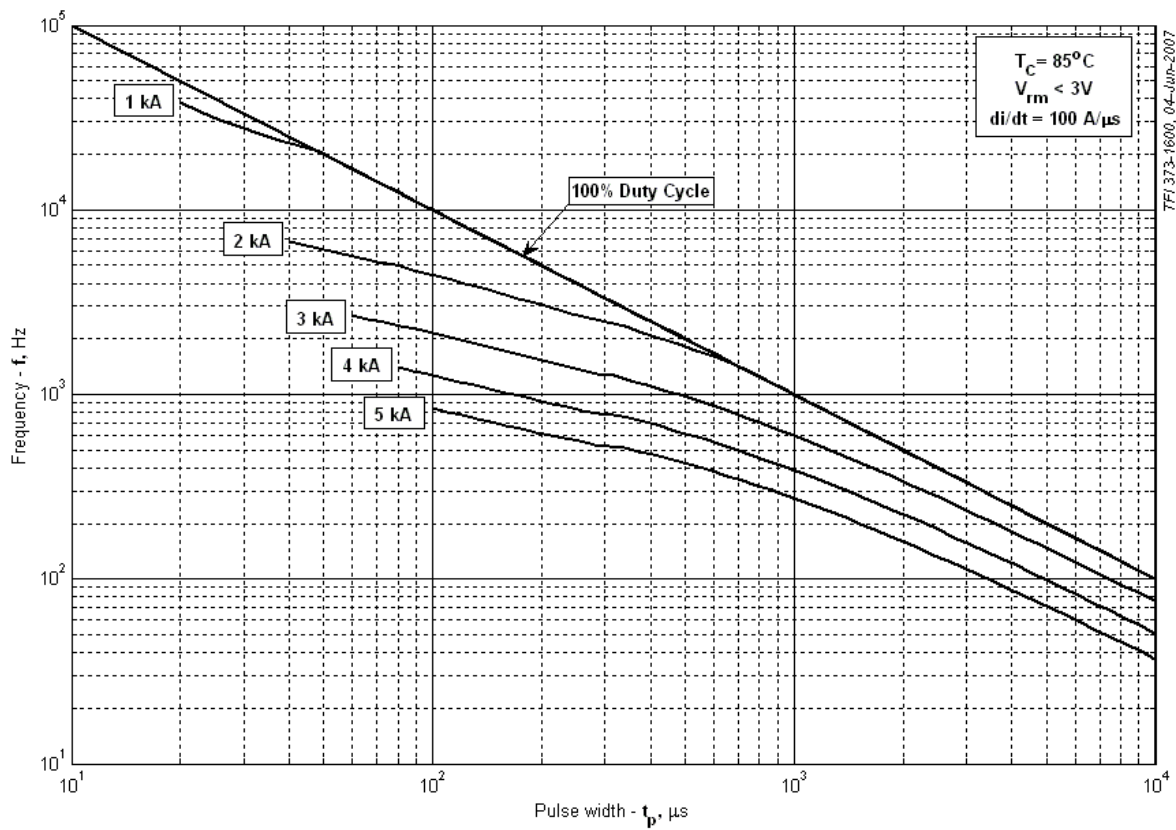


Рис. 16 – Зависимость частоты прямоугольных импульсов тока от длительности импульсов

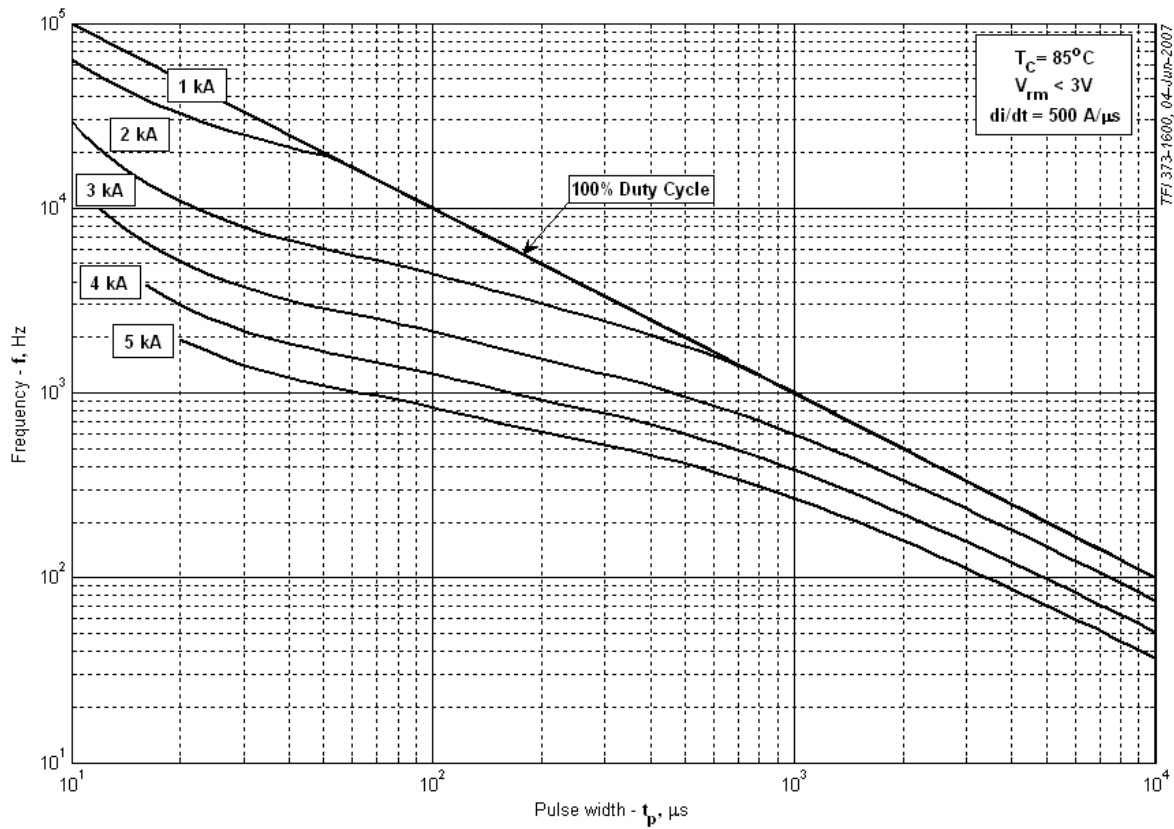


Рис. 17 – Зависимость частоты прямоугольных импульсов тока от длительности импульсов

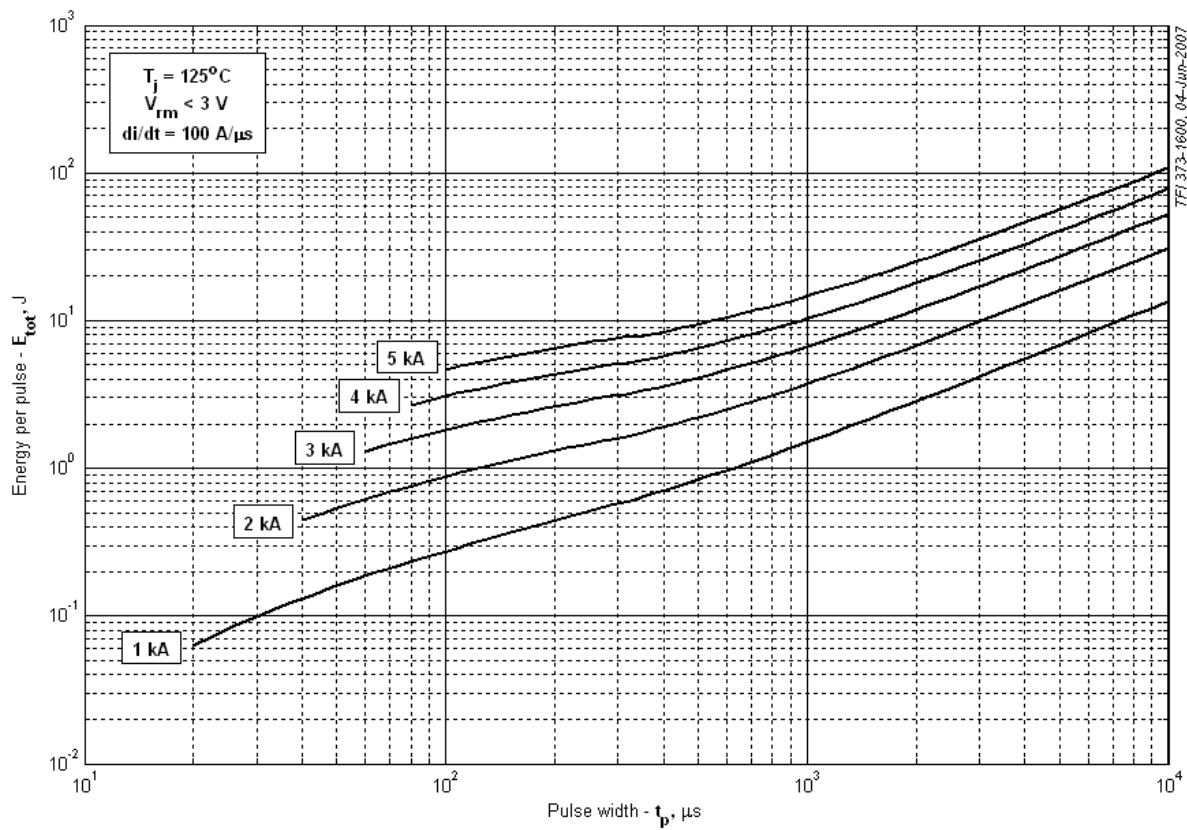


Рис. 18 – Суммарная энергия потерь одного прямоугольного импульса тока

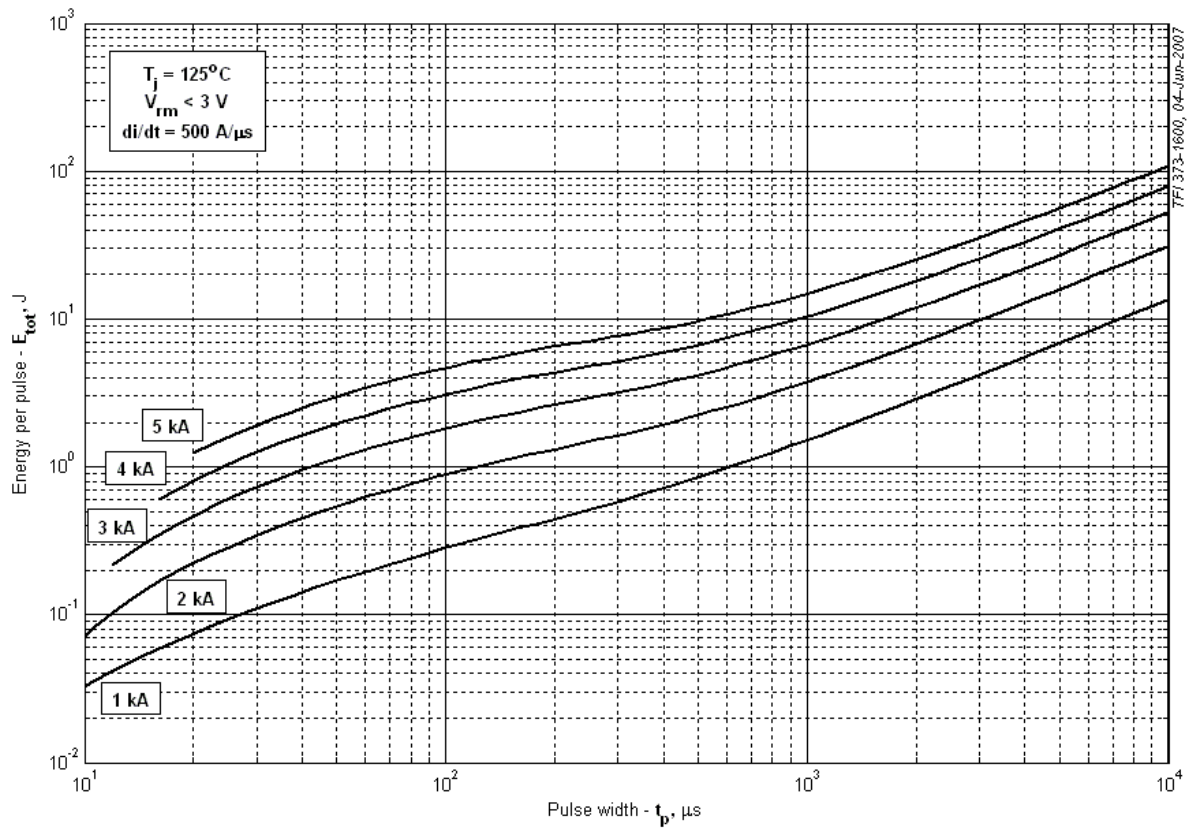


Рис. 19 – Суммарная энергия потерь одного прямоугольного импульса тока

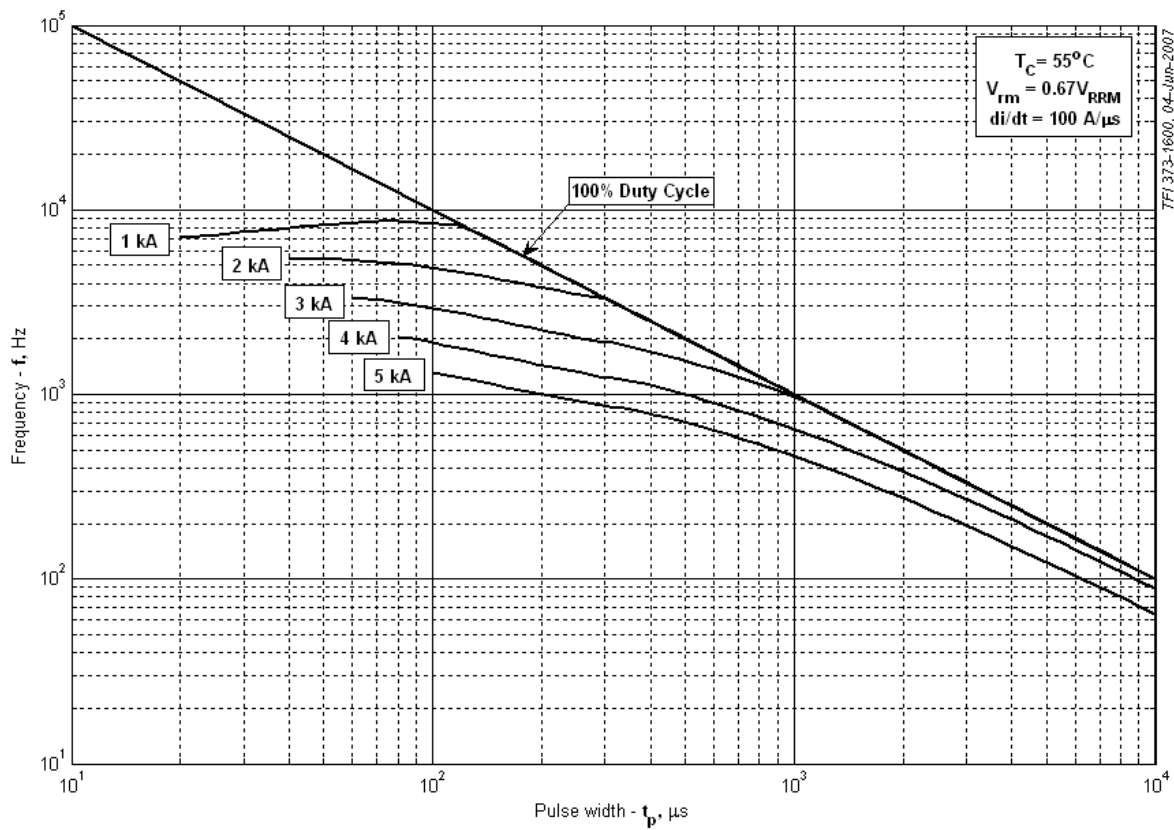


Рис. 20 – Зависимость частоты прямоугольных импульсов тока от длительности импульсов

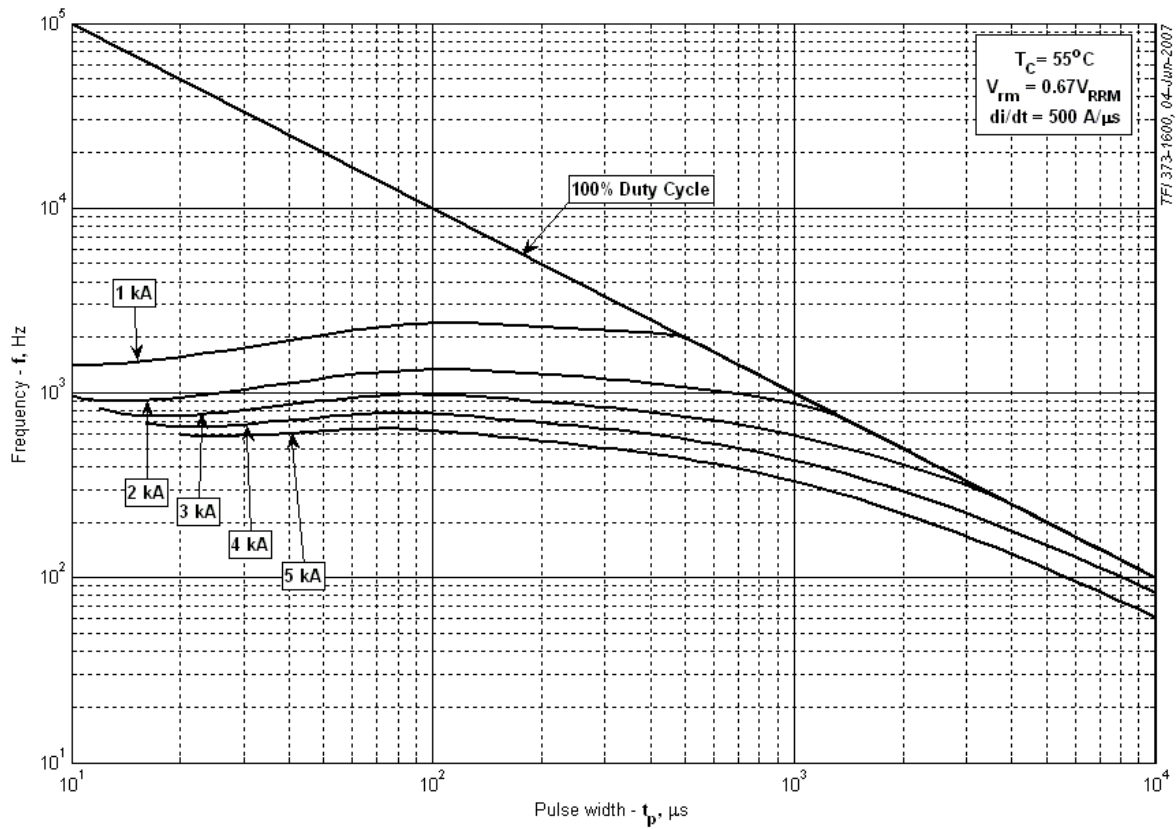


Рис. 21 – Зависимость частоты прямоугольных импульсов тока от длительности импульсов

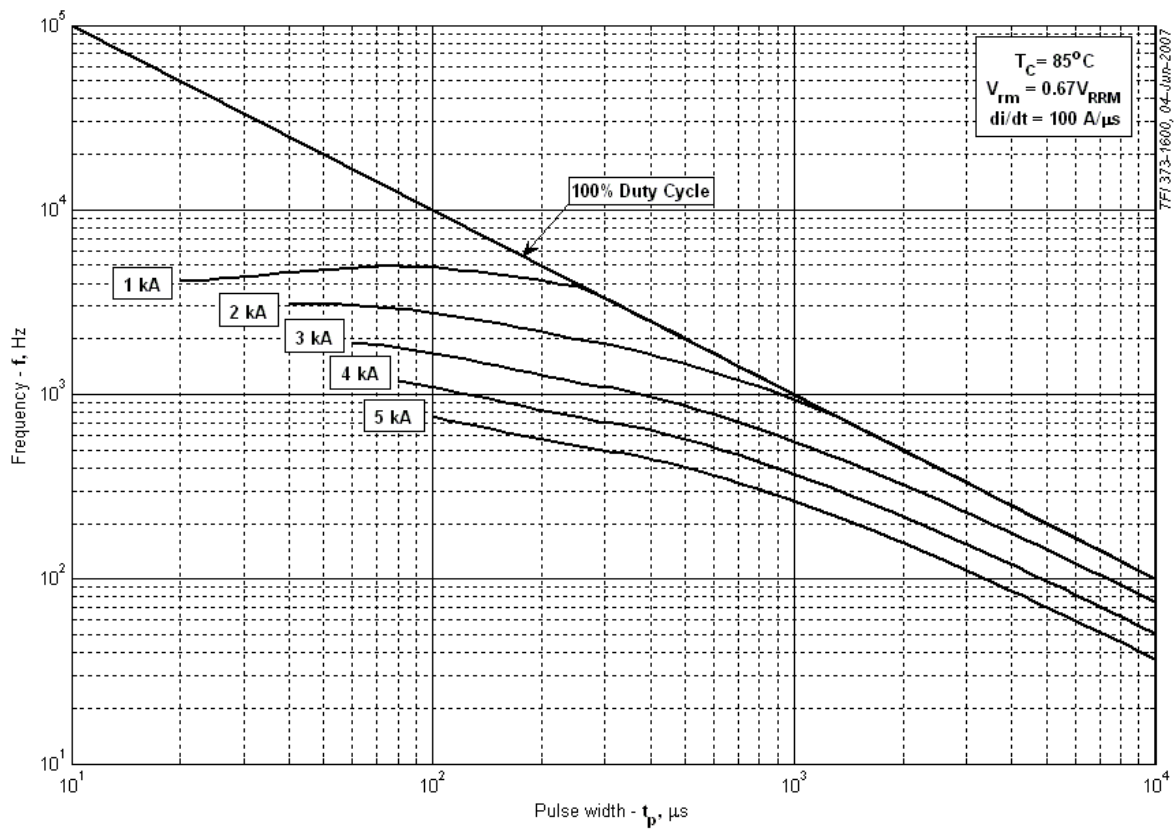


Рис. 22 – Зависимость частоты прямоугольных импульсов тока от длительности импульсов

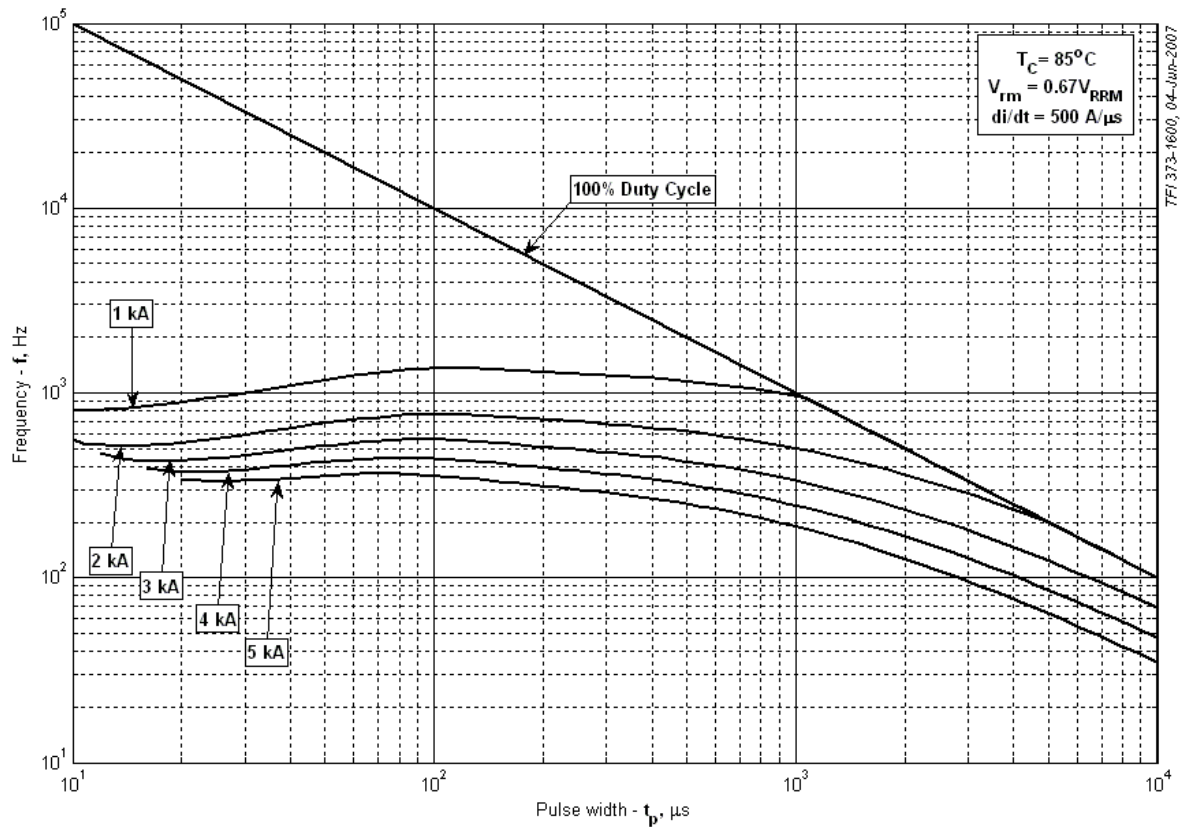


Рис. 23 – Зависимость частоты прямоугольных импульсов тока от длительности импульсов

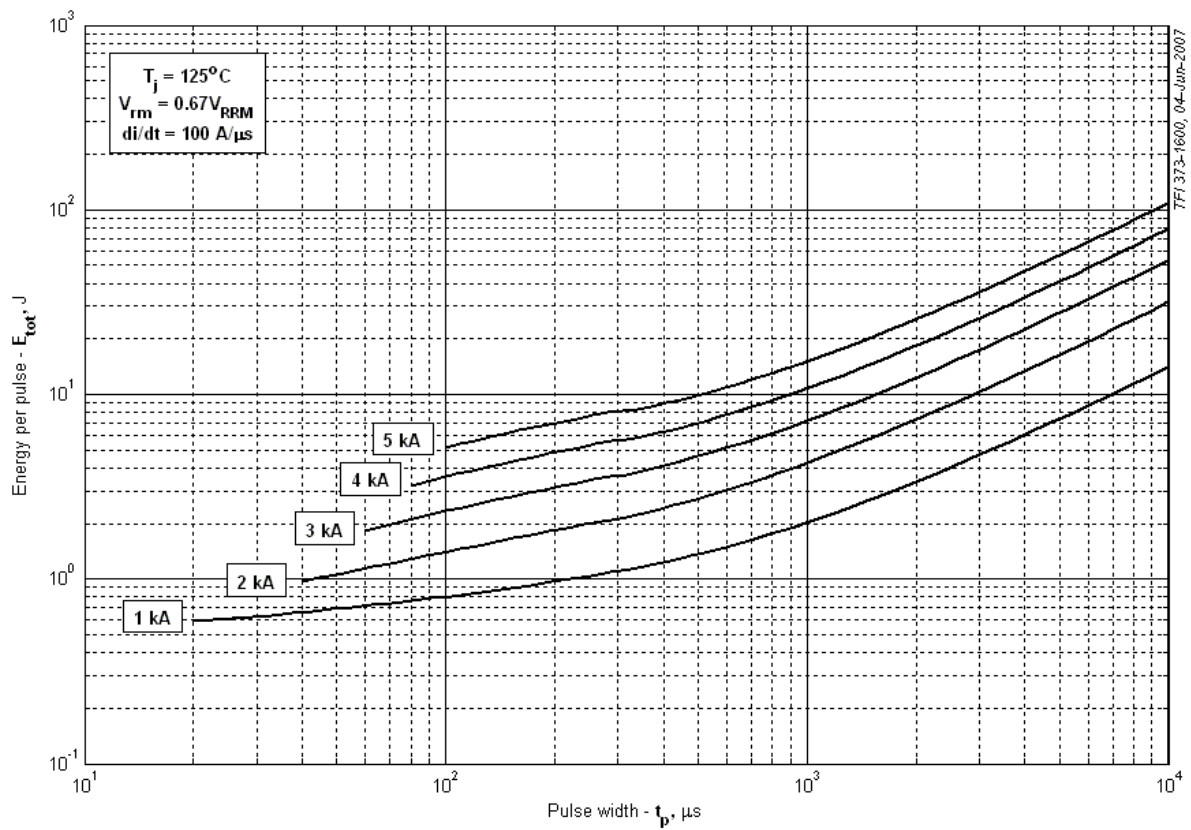


Рис. 24 – Суммарная энергия потерь одного прямоугольного импульса тока

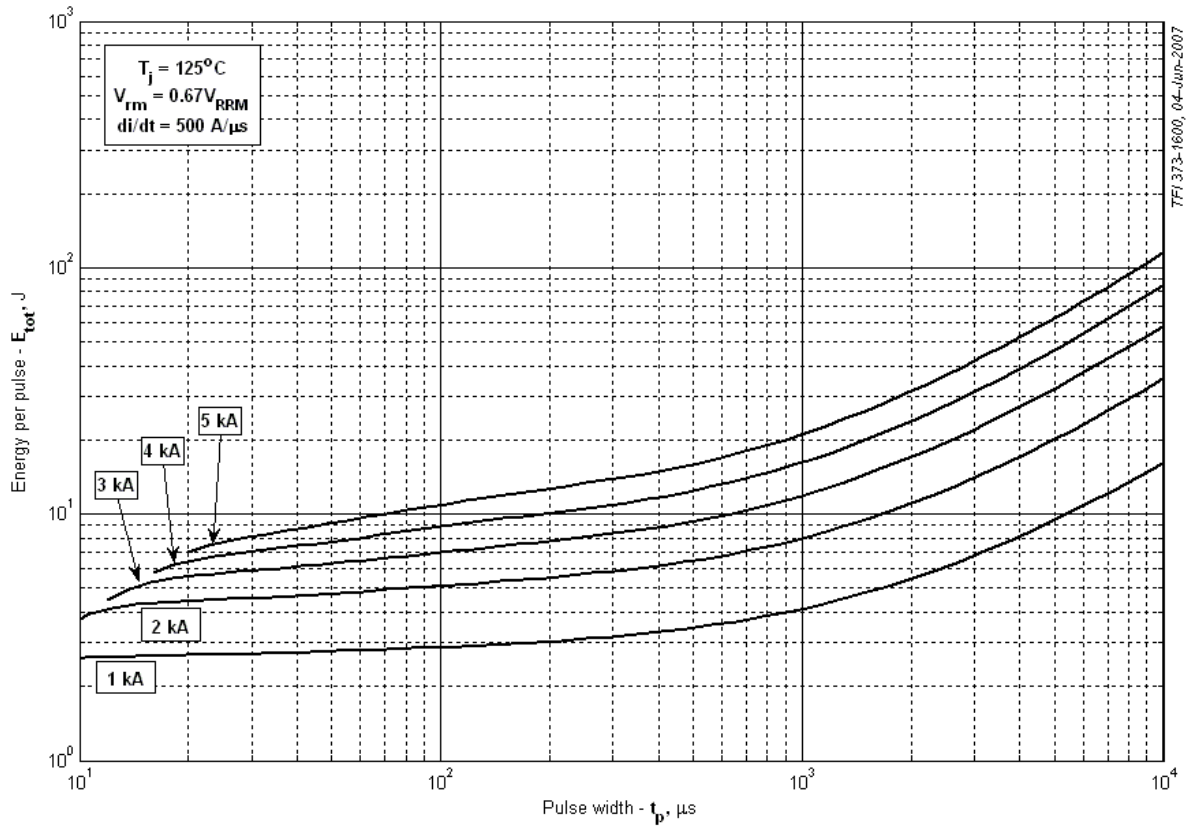


Рис. 25 – Суммарная энергия потерь одного прямоугольного импульса тока

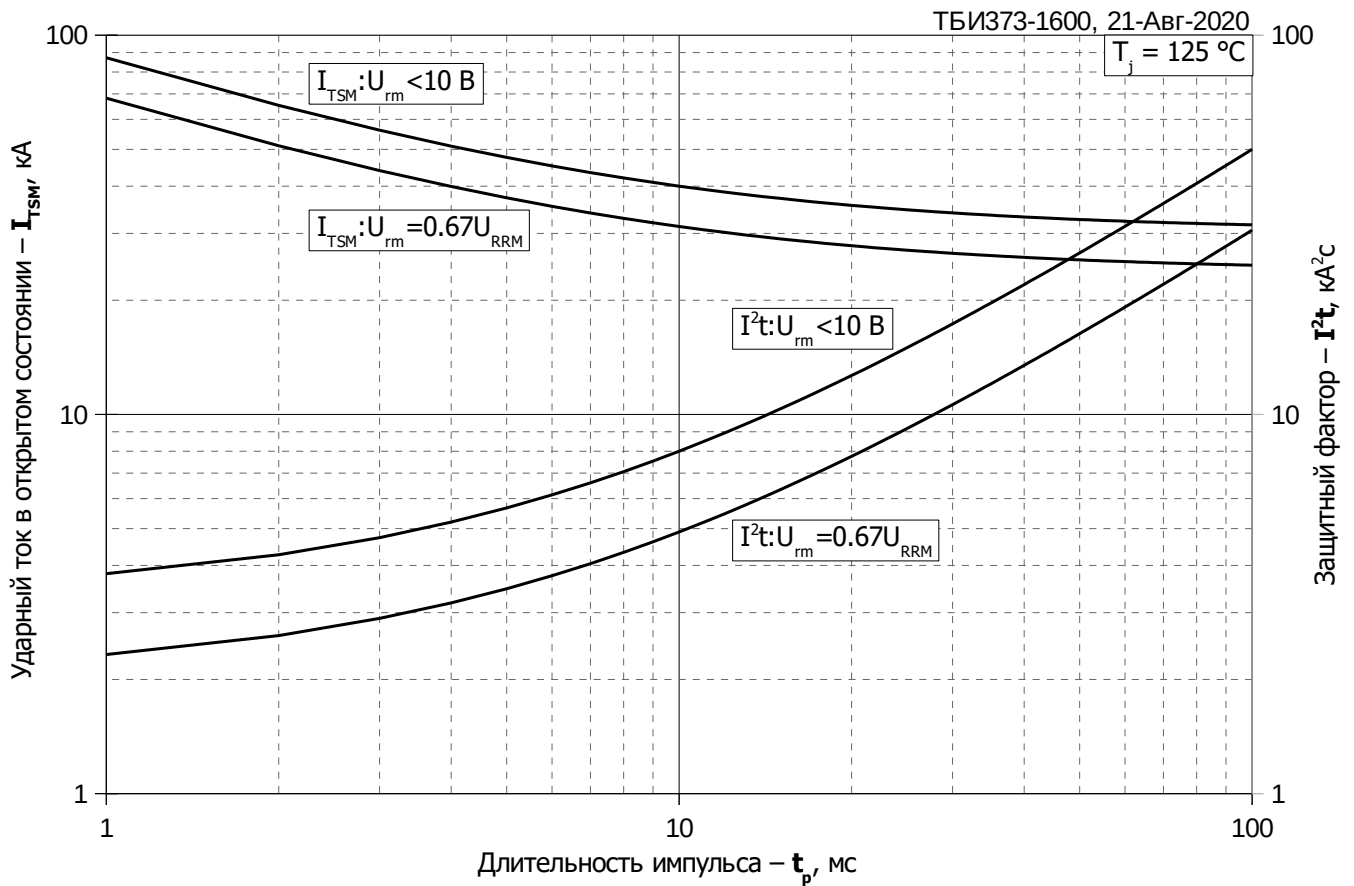
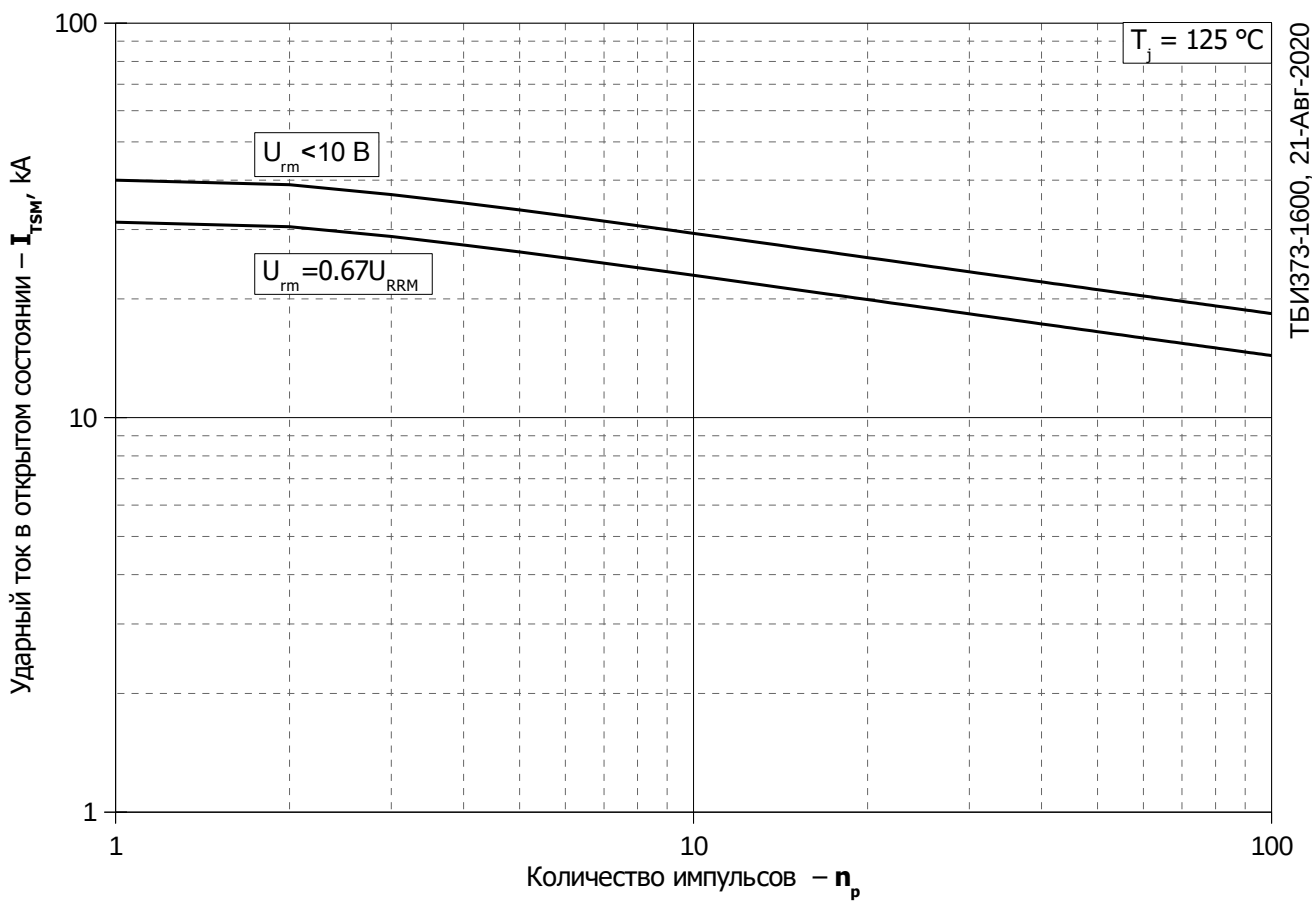


Рис. 26 – Максимальные ударные и I^2t характеристики



ТБИ373-1600, 21-Авг-2020

Рис. 27 – Зависимость допустимой амплитуды ударного тока от числа импульсов